

II-7-2 混成防波堤捨石部の形状が波圧に及ぼす影響について

大阪工業大学 正員 久保 弘一
同 上 ○玉井 佐一

1 まえがき

従来の混成防波堤に作用する碎波の波圧式は一般に波の特性と前面水深の変化に主眼があがりていいものが多いうのである。しかし捨石部の天端が静水面下にあるような防波堤では捨石部の高さ、すなわち前面水深のゆでなく、天端幅の如何によつても碎波現象自体がかなり変化し、そのためによって直立部に働く波圧も著しく変化するものと考えられる。こうに天端を方塊、消波ブロックなどと被覆した場合には、碎波状態や波圧にも非常に大きな変化の見られるることは明らかである。

したがって、この研究では、まず捨石部天端幅を種々変化させて、碎波形態の変化や波圧分布に及ぼす影響などを調べて最適な天端幅を見出すと共に、天端に設置した碎石、ブロックなどと波圧および碎波形態に如何に影響するかを検討した。なおこの研究では消波ブロック個数の特徴については特に考慮していらない。参考のため、我が国の既設防波堤のうち82例(港湾構造物集録記載)を天端幅によって分類すると表-1の通りで10m以上の天端幅の防波堤は非常に少ない。

次に捨石部天端が低い混成防波堤(重複波領域)において、波圧計算の基準となる水深のとり方にについても、未だ明確な解答が未されていない。水深を如何にとるかは云いかれども直立部の捨石などで被覆された部分の波圧をどのように評価するかと云う問題に帰着するわけであるが、これについても検討を加えた。

2 実験設備および方法

実験水槽長30m、幅0.8m、深さ0.9mの片面透明樹脂板張りの鋼製水槽を用い。

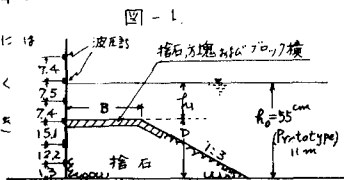
一端に防波堤模型を設置し、他端に取付けたフッターモード造波板により所要の波を起して実験を行つた。水槽幅は20cmとした。実験に用いた波浪条件は表-2の通りである。捨石部は径3~5cmの砂利を用い、またその表面は砂利の他、方塊(モルタル製、現地重量2.8t)中空三脚、および中空三角ブロック(いずれも2t模型)をもつて被覆した。また直立壁には図-1に示した位置に直計式波圧計6個を設置し、各実験波圧変化を記録した。

3 実験結果

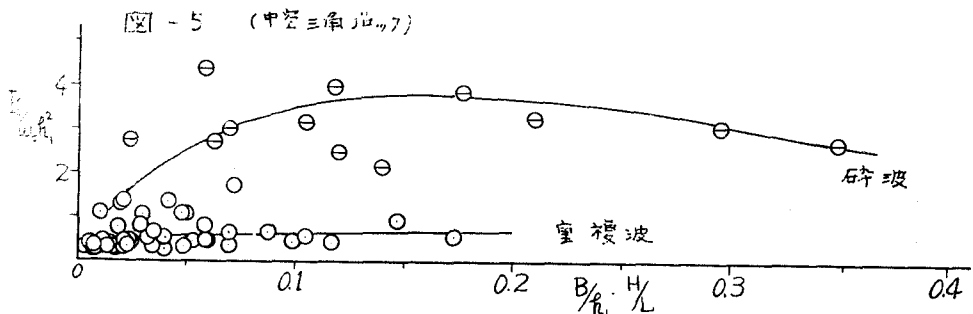
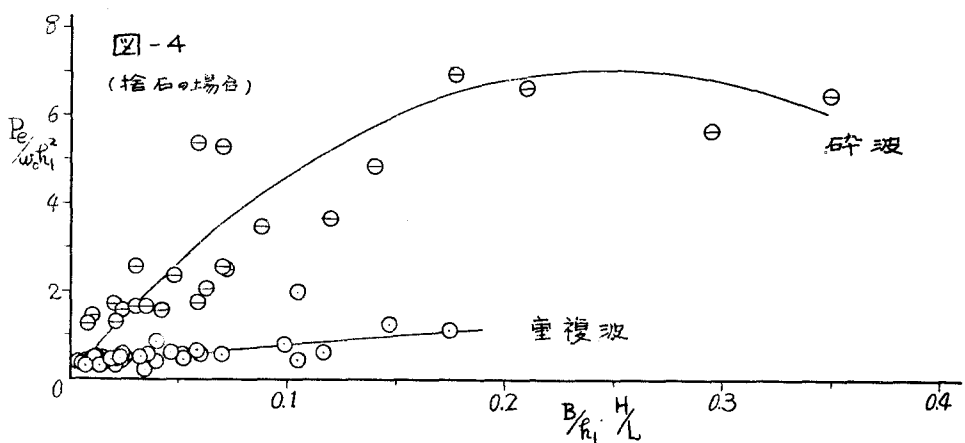
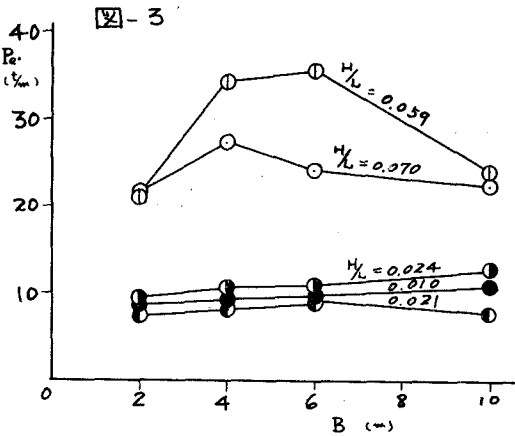
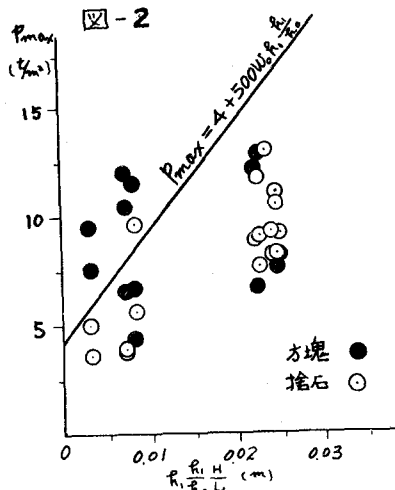
1) 捨石部天端幅Bの影響について。波圧強度 P_{max} と永井博士の波圧式と比較すると図-2の通り($R_1 = 2m$ の場合のみ)一般に同様の傾向がなり、小さい値を示している。これは捨石部構成材料の透過性の砂利であるため同じ結果であると考えられる。次に捨石の場合について幅Bと波圧合力 P_B の関係を示せば図-3の通りである。図から明らかなようにほぼ4~6mで波圧が最も大きくなっている。現象的に見ればBが小さい場合には波浪があまり変形を受けずに直立壁に作用するため重複波の要素が強くなり、またBが充分長い場合には、粗度によるエネルギー消耗が大きいため直立壁に作用する波圧はかえって減少する。(図-7, および8参照)

天端幅 B (m)	件数
0 ≤ B < 2	12
2 ≤ B < 4	38
4 ≤ B < 6	16
6 ≤ B < 8	11
8 ≤ B < 10	3
10 ≤ B	2

水深 R ₁	11 m
前面水深 R ₂	2m 4m 6m
捨石部天端高 D = R ₂ - R ₁	9m 7m 5m
捨石部天端幅 B	0.2m 4m 6m 10m
法面勾配	1:3
周期 T	5~12 sec
波高 H	1.2~3 m
波長 L	38.7~117.9 m
波形勾配 %	0.010~0.070



次に幅Bに波の特性を関連させた $\frac{P_{e_{\text{max}}}}{P_{e_{\text{max}}}^2}$ と最大同時波压の合力を無次元化した $P_{e_{\text{max}}}^2$ との関係を
図-2から図-5まで通りで、碎波の場合には $\frac{P_{e_{\text{max}}}}{P_{e_{\text{max}}}^2} = 0.2$ 附近で最大値に有る傾向を有してい。また $\frac{P_{e_{\text{max}}}}{P_{e_{\text{max}}}^2}$ の値が0に近付くと $P_{e_{\text{max}}}^2$ は重複波の波压に近付くことが認められ。



我が国の防波堤で4~6mの天端幅を有するもの割合に多く、これは碎波を対象とする防波堤設計参考となる充分注意すべきことではあるが参考。

2. ロックの消波効果について 捨石部天端に消波ロックを設置した場合の波压の減少効果につ

いでは、図-4 および 5 で明らかにように波圧合力 P_e は 40~60% 減少している。また図-6 に一例を示すように最大同時波圧分布が、消波ブロックによつて碎波型から重複波・波圧分布型に近づいていく場合が多いことに大きな特徴を見出すことができる。したがつて適当な天端高に適当なブロックを選べば、碎波・衝撃的要素の相当部分を吸収することができるであろう。

3)直立壁前面の被覆部分の波圧について 前面が捨石などと被覆された直立壁の部分に働く波圧は図-6 の一例を示したようにかなり大きくなり damping 効果は期待できない。特に消波効果がいい捨石および方塊積小堤に碎波が作用する場合には一層大きくなる。いま捨石堤で被覆された部分の波圧合力 P_e (図-6 の天端以下) を Saintflou 式による計算値(被覆部分の波圧合力) P_{SL} とを比較すると表-3 の通りで重複波領域では実験値と計算値とが比較的近似されず碎波領域では計算値より大きくなり 4 倍に達する場合もある。いいかえれば、上部に碎波が作用すれば、被覆部分にも衝撃的な要素を持つ波圧が作用することになる。また捨石部天端に消波ブロックを使用した場合は、碎波形式の如何にかかわらず、波圧強度は捨石の場合の約 1/2 に減りてしまう。(図-7,8 参照)

以上のように重複波については被覆部分の波圧は前面の被覆による影響をほとんど受けない。したがつて重複波の波圧計算におけるべきは、一応法先水深と波圧計算の基準により、被覆部分も計算値程度の分布を考慮すべきである。碎波の場合には被覆部分の波圧は当然無視すべきではなく、考慮する碎波条件に応じて重複波圧の 2~4 倍程度まで考慮すべきではないかと考える。

図-6 最大同時波圧分布 $T = 6.0 \text{ sec}$
 $\chi = 0.059$

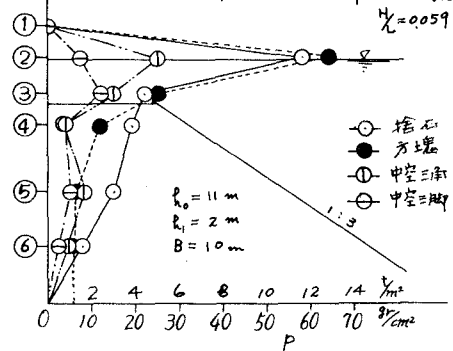


表-3 P_e / P_{SL} の関係

	$T = 9 \text{ sec}$	$D = 7 \text{ m}$	$D = 5 \text{ m}$
12	0.30~0.85	0.57~0.72	0.72~0.85
10	0.41~1.30	0.67~0.74	0.64~0.69
8	0.63~1.08	0.59~0.98	0.76~0.88
6	1.20~2.73	0.83~1.90	0.46~0.89
5	1.40~1.75	0.69~3.90	2.66~3.46

図-7 最大同時波圧分布

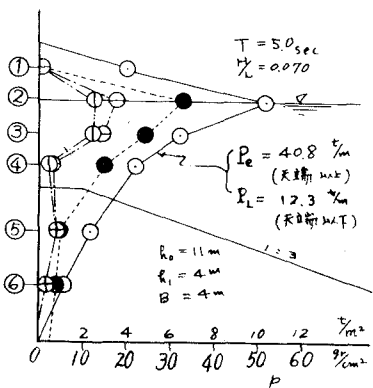


図-8 最大同時波圧分布

